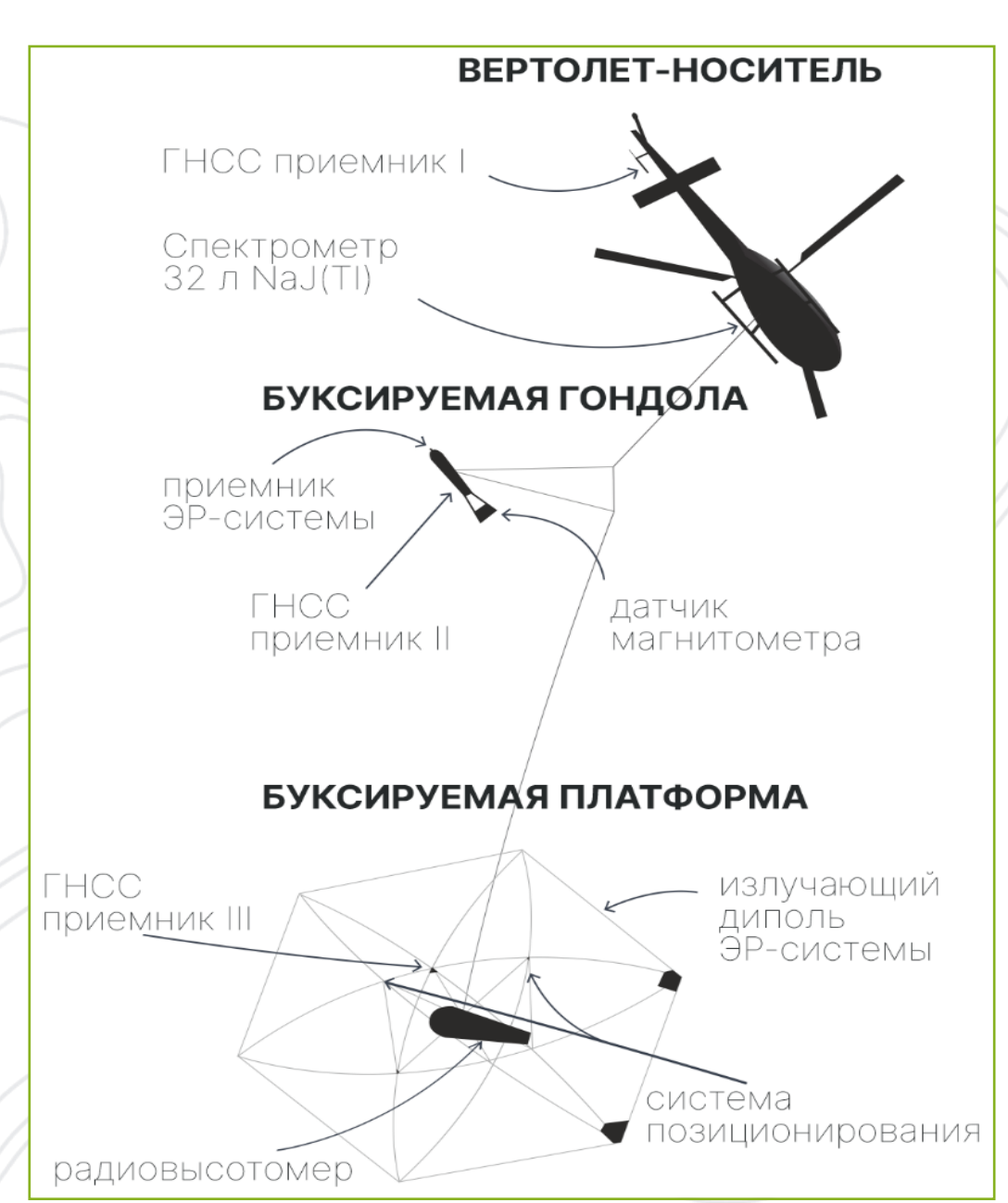
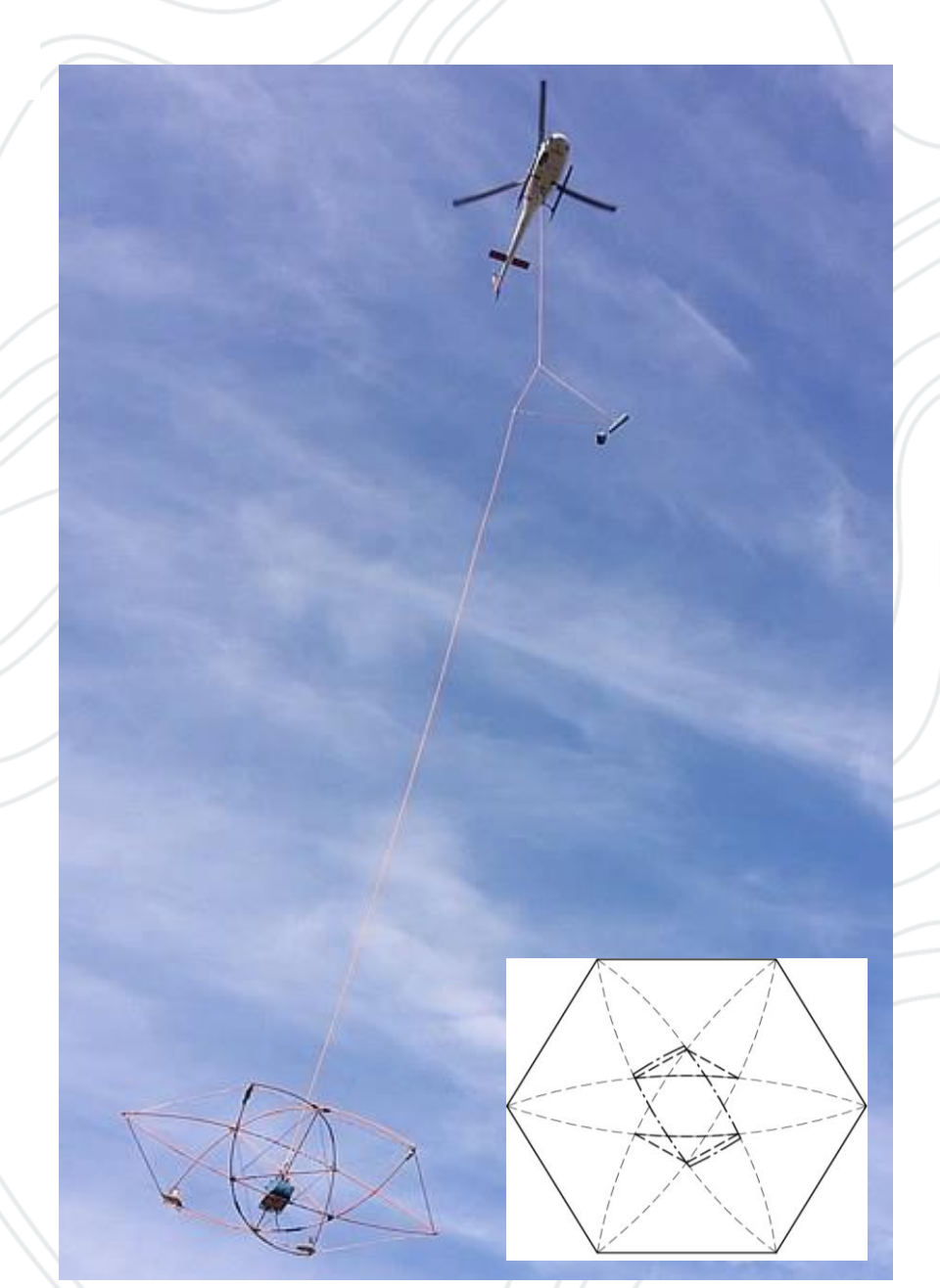


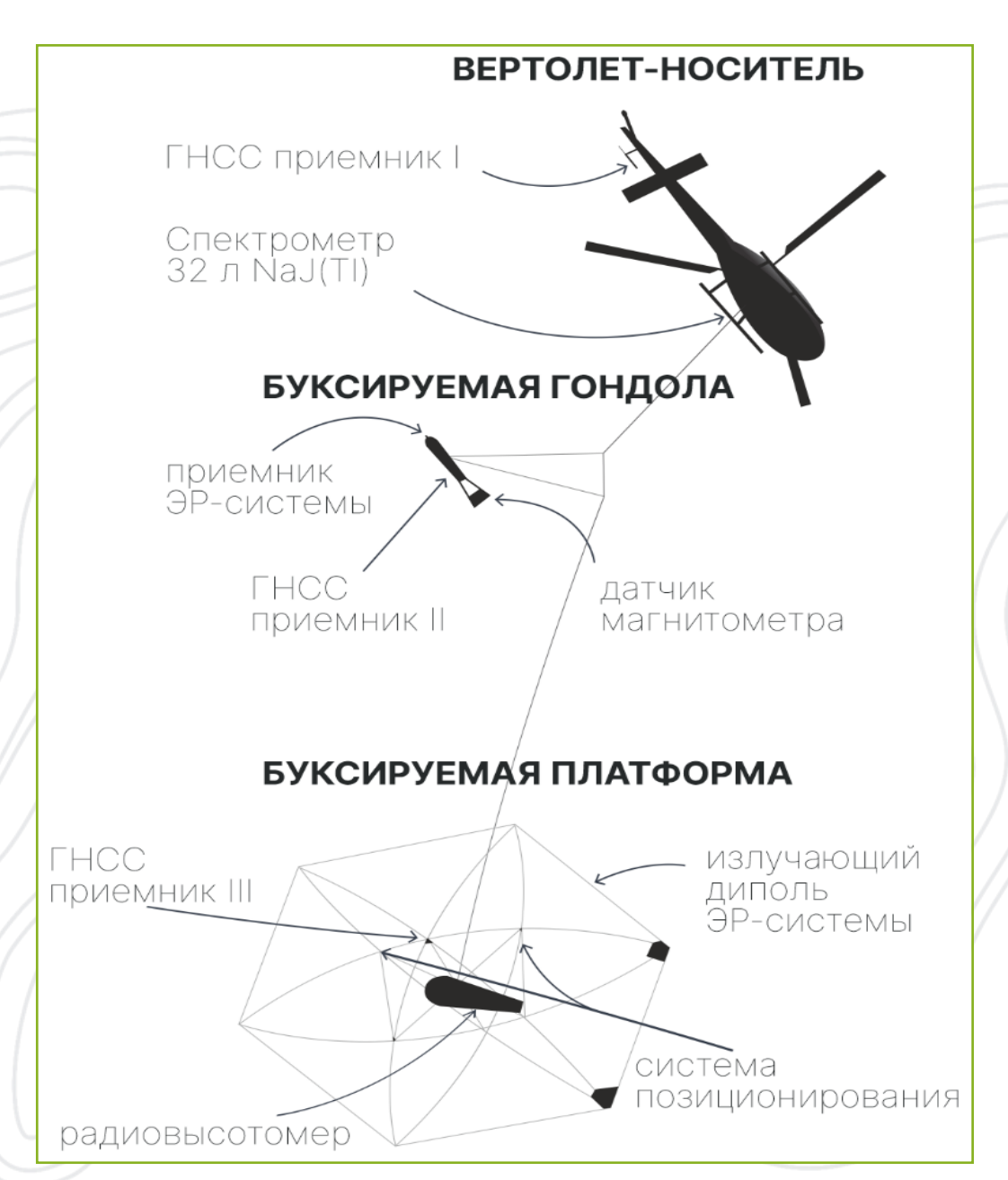
System	H, m	R, m
ЭКВАТОР	40-45	40





Система



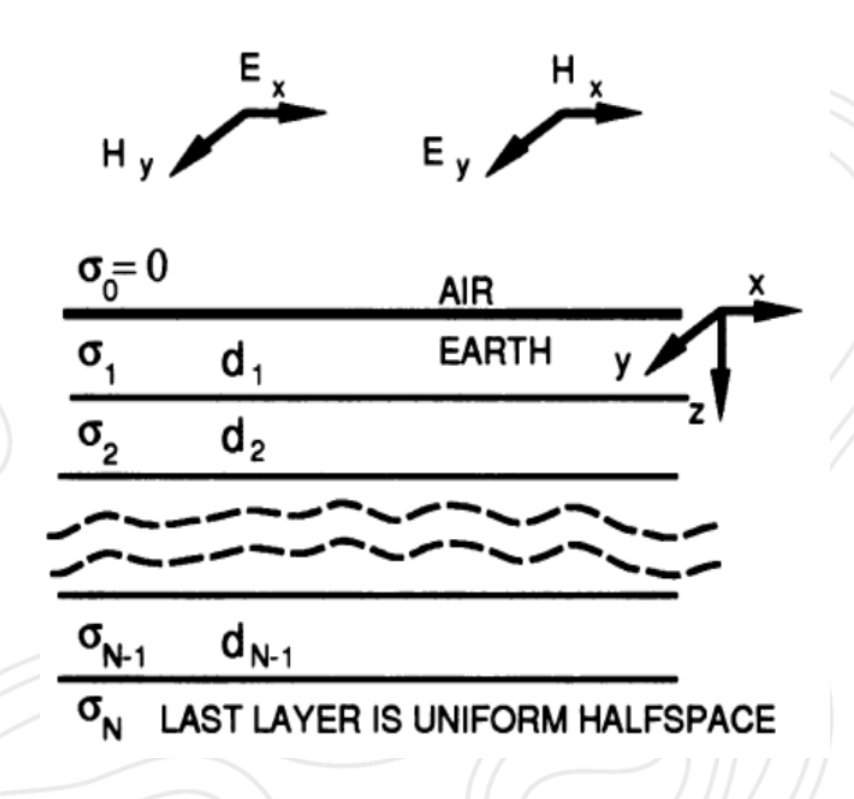




Используемая модель

- Горизонтально-слоистая модель
- Толщины слоев фиксированы
- Сопротивления оцениваются при помощи итерационного расширенного фильтра Калмана
- Невязки

$$r = \sqrt{\sum_{i=0}^{N} \frac{\left(\tilde{Z}_i - Z_i\right)^2}{\sigma_i^2}}$$



 Z_i - i-я компонента ${\bf Z}_{\rm c}, \tilde{Z}_i$ - оценочная величина $Z_i, \ \sigma_i^2$ - соответствующая дисперсия шума, N- номер измерения.

GEO Technologies

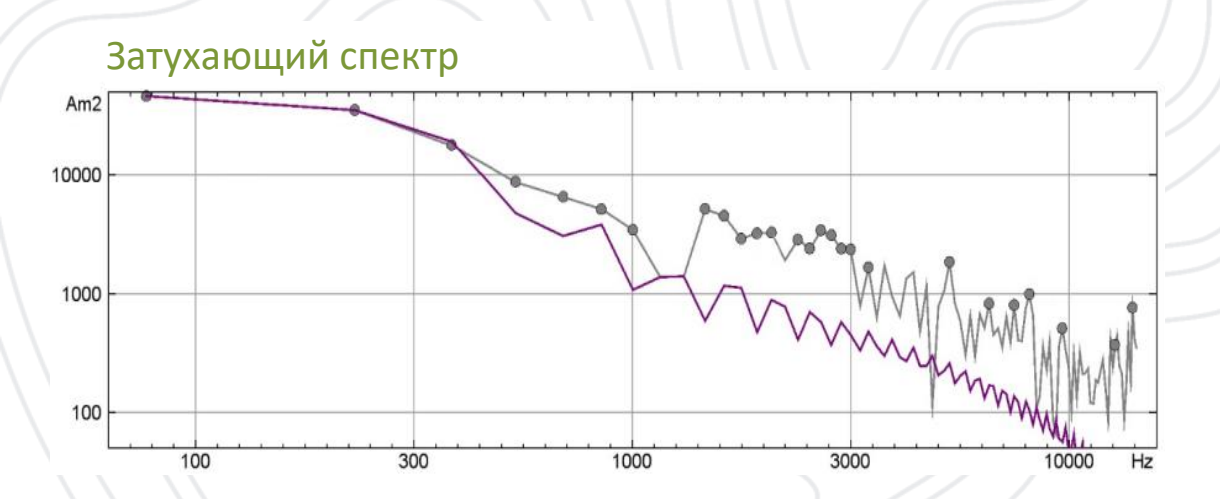
Вектор измерений

$$\mathbf{Z}_{\mathrm{c}} = (\mathbf{Z}_{\mathrm{\omega}}, \mathbf{Z}_{\mathrm{t}})$$

Вектор измерений частотной области:

$$\mathbf{Z}_{\omega}$$
 = (Im ω_1 , ..., Im ω_n ,
Re ω_2 – Re ω_3 , ..., Re ω_n – Re ω_{n-1})

 ${
m Im}\; \omega_i$ и ${
m Re}\; \omega_i$ - квадратурная и синфазная составляющие отклика для частоты ω_i

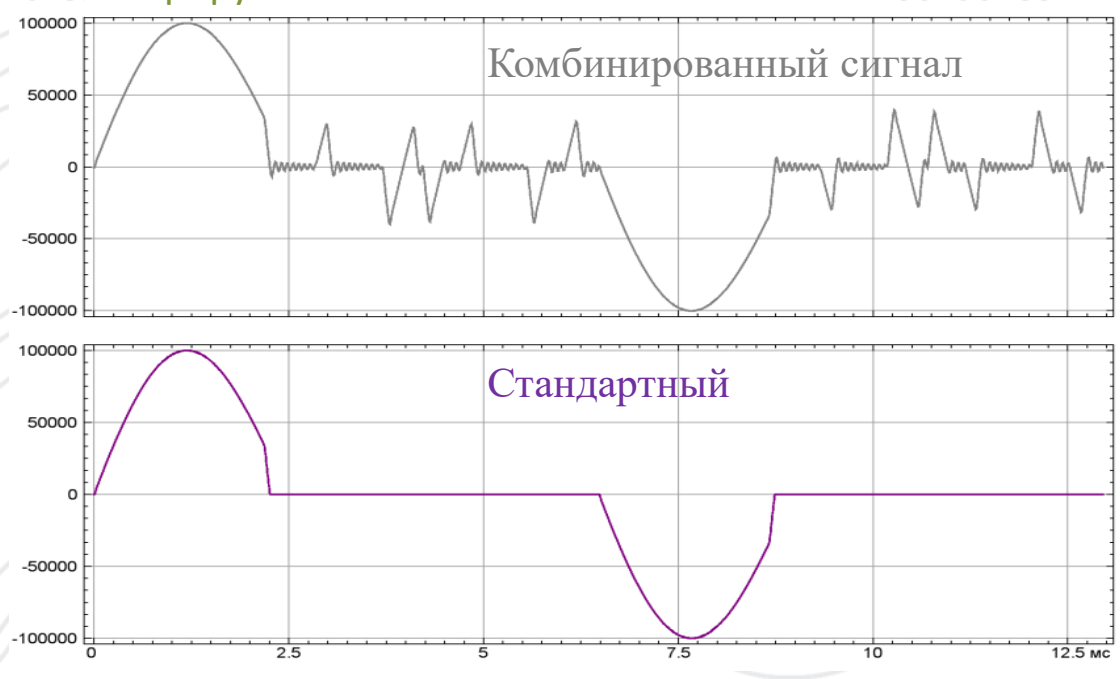


Измерения во временной области

$$\mathbf{Z}_t = (a_1(dB/dt), ..., a_m(dB/dt))$$

 $\frac{dB}{dt}$ - значений производной магнитного поля, усредненных по фиксированным временным интервалам

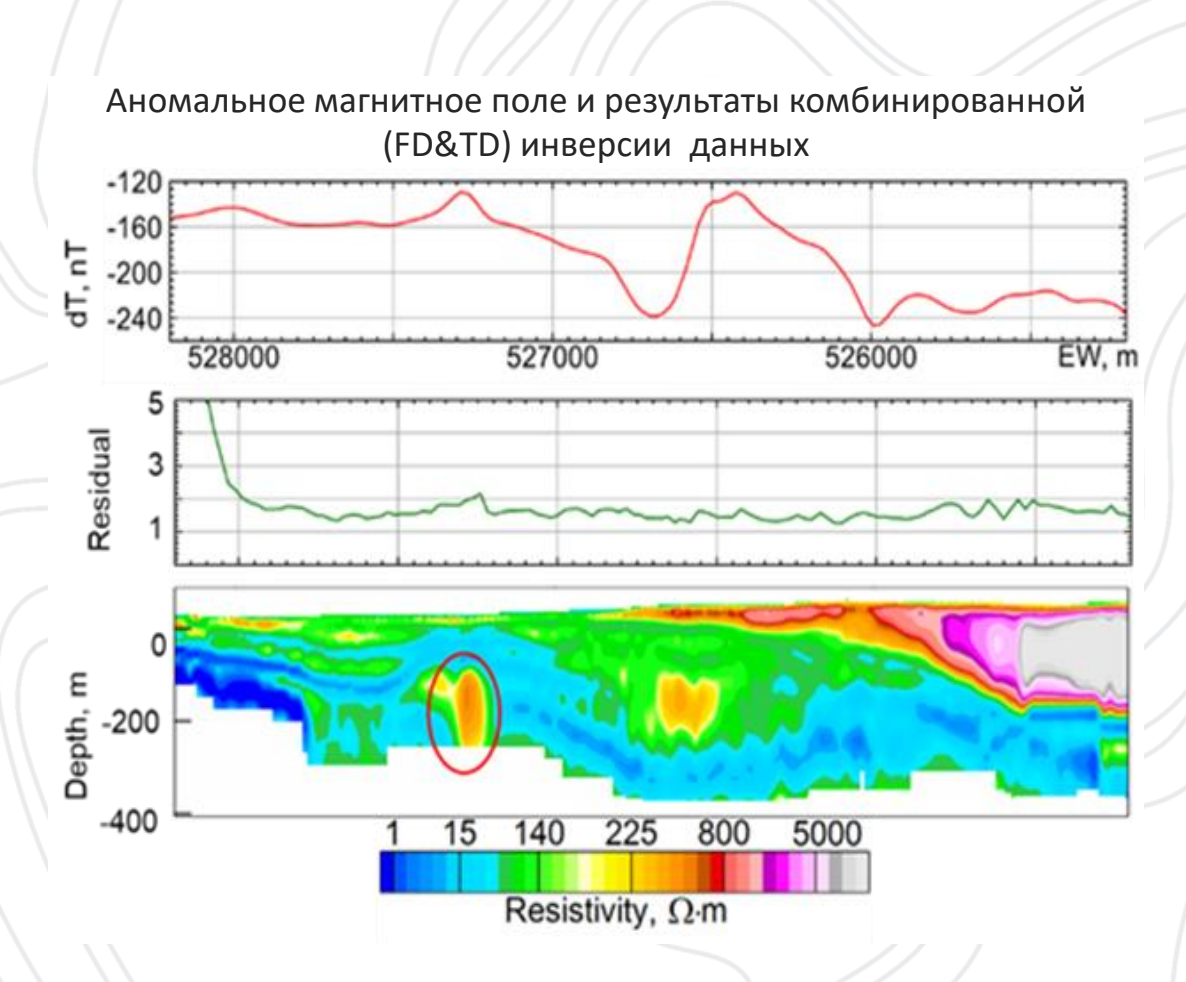
Генерируемый сигнал

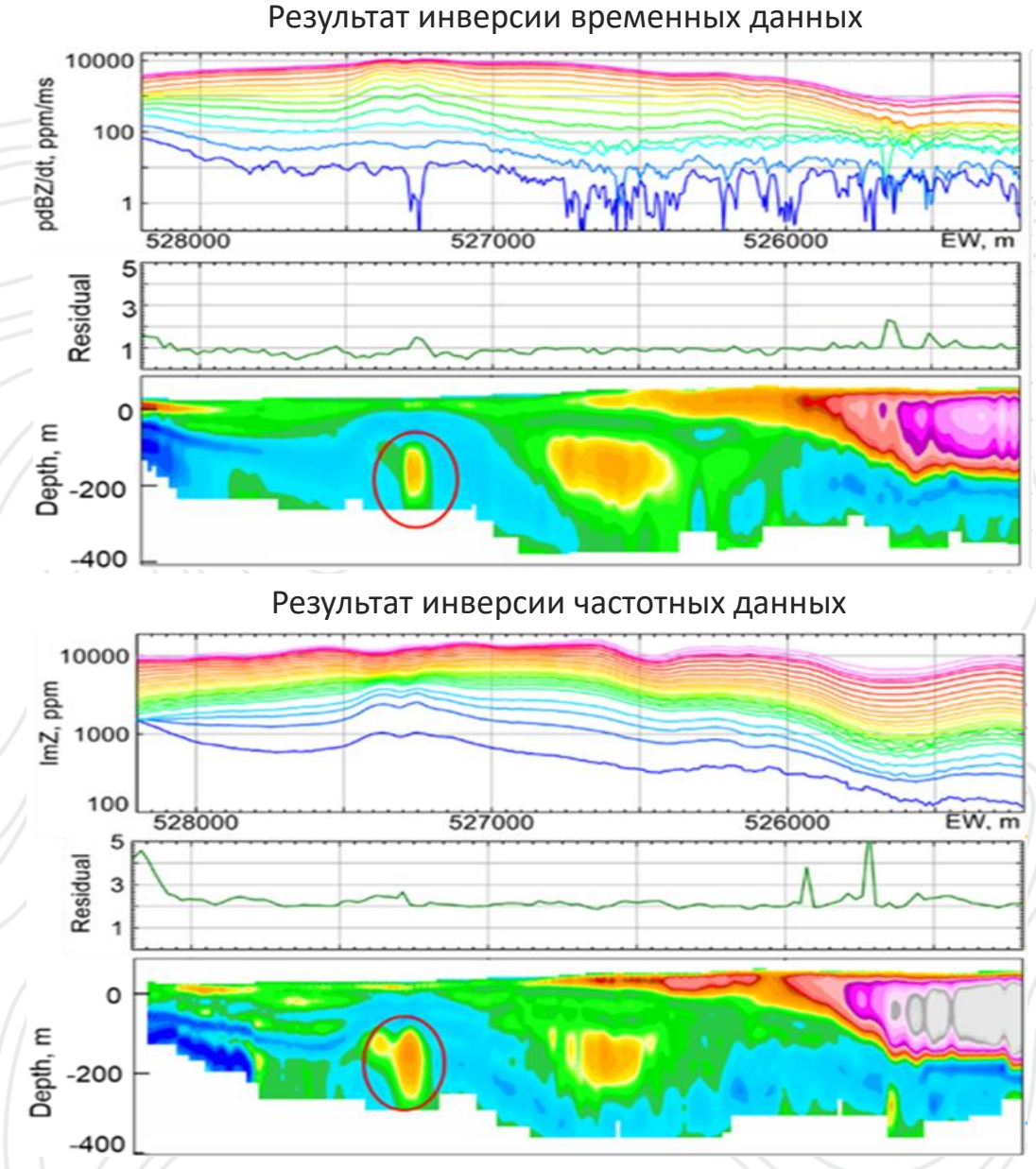


Преимущества комбинированной инверсии данных



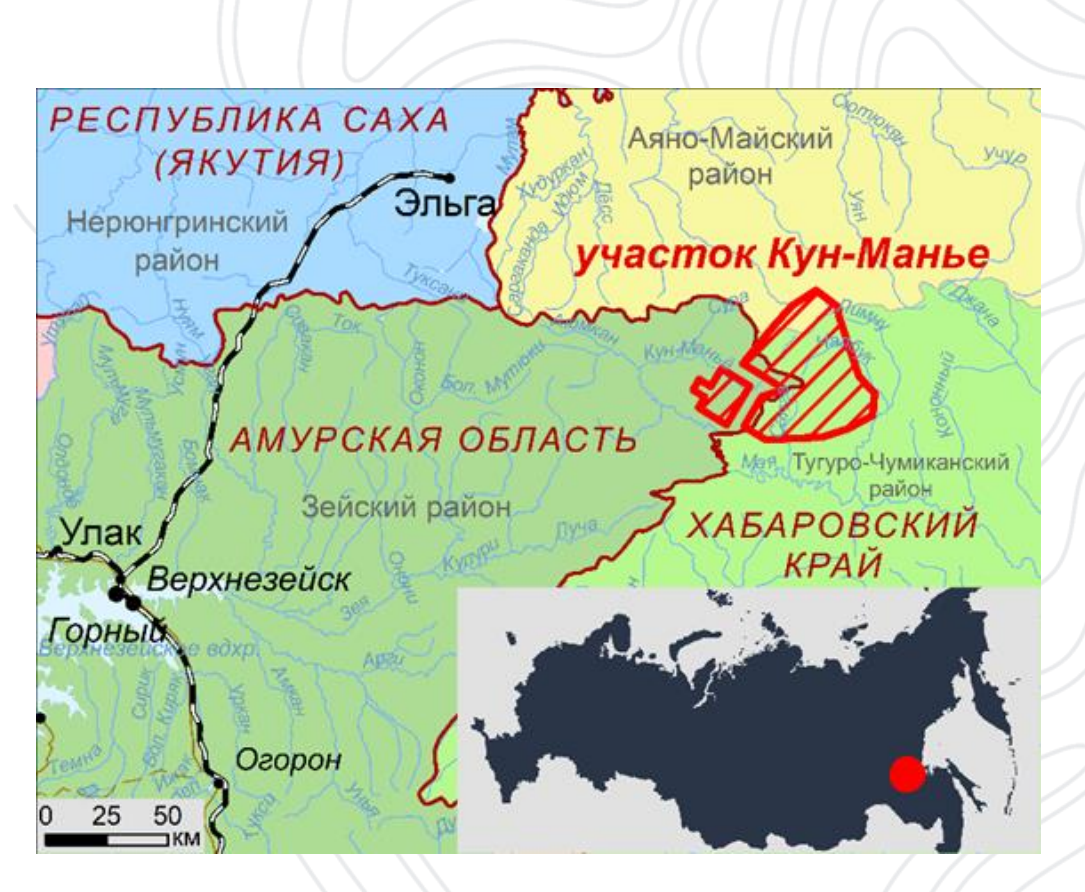
Сравнение результатов интерпретации данных

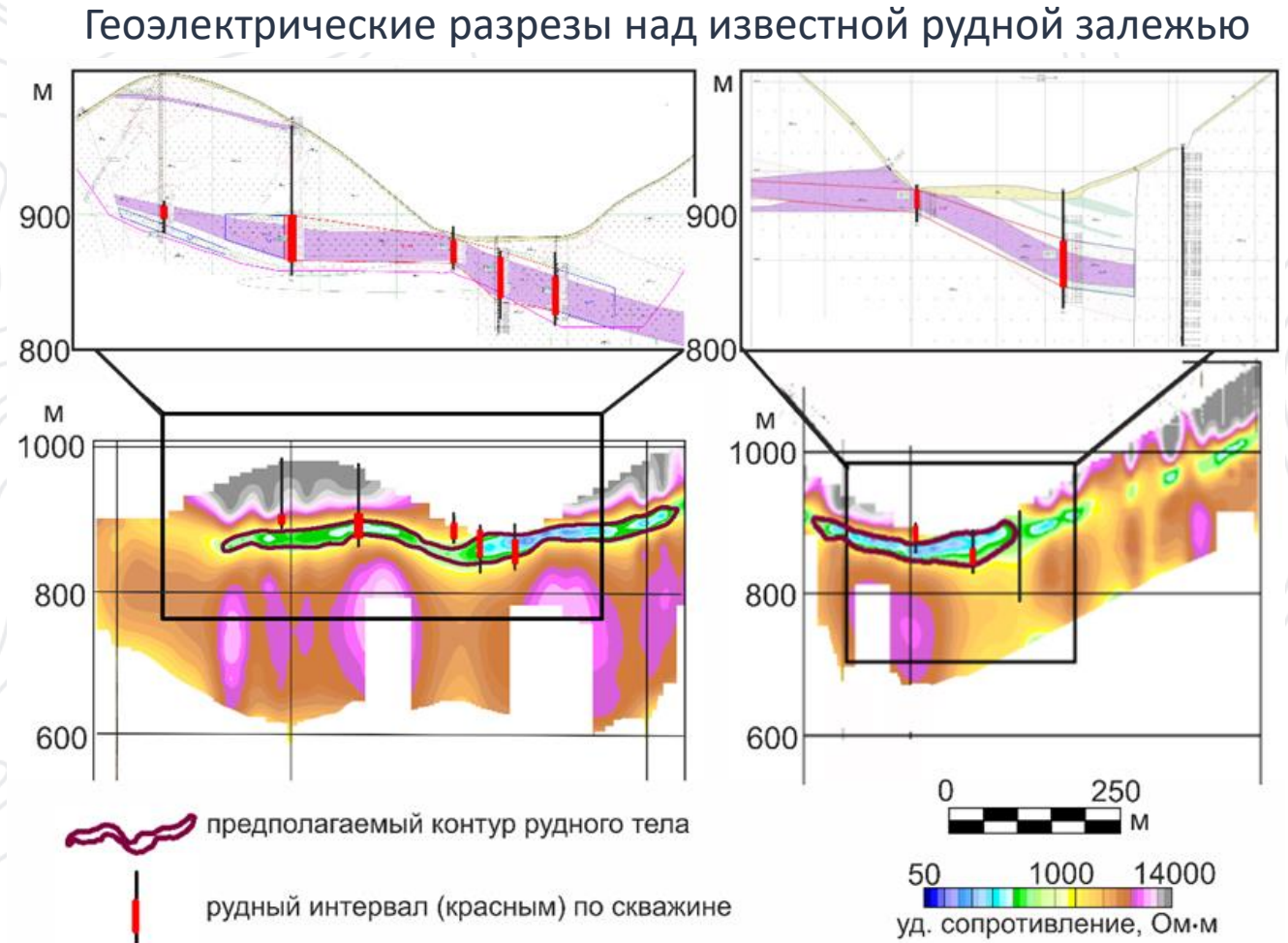






Поиски медно-никелевых руд в ультрамафитах кунманьенского комплекса. Хабаровский край. 2023



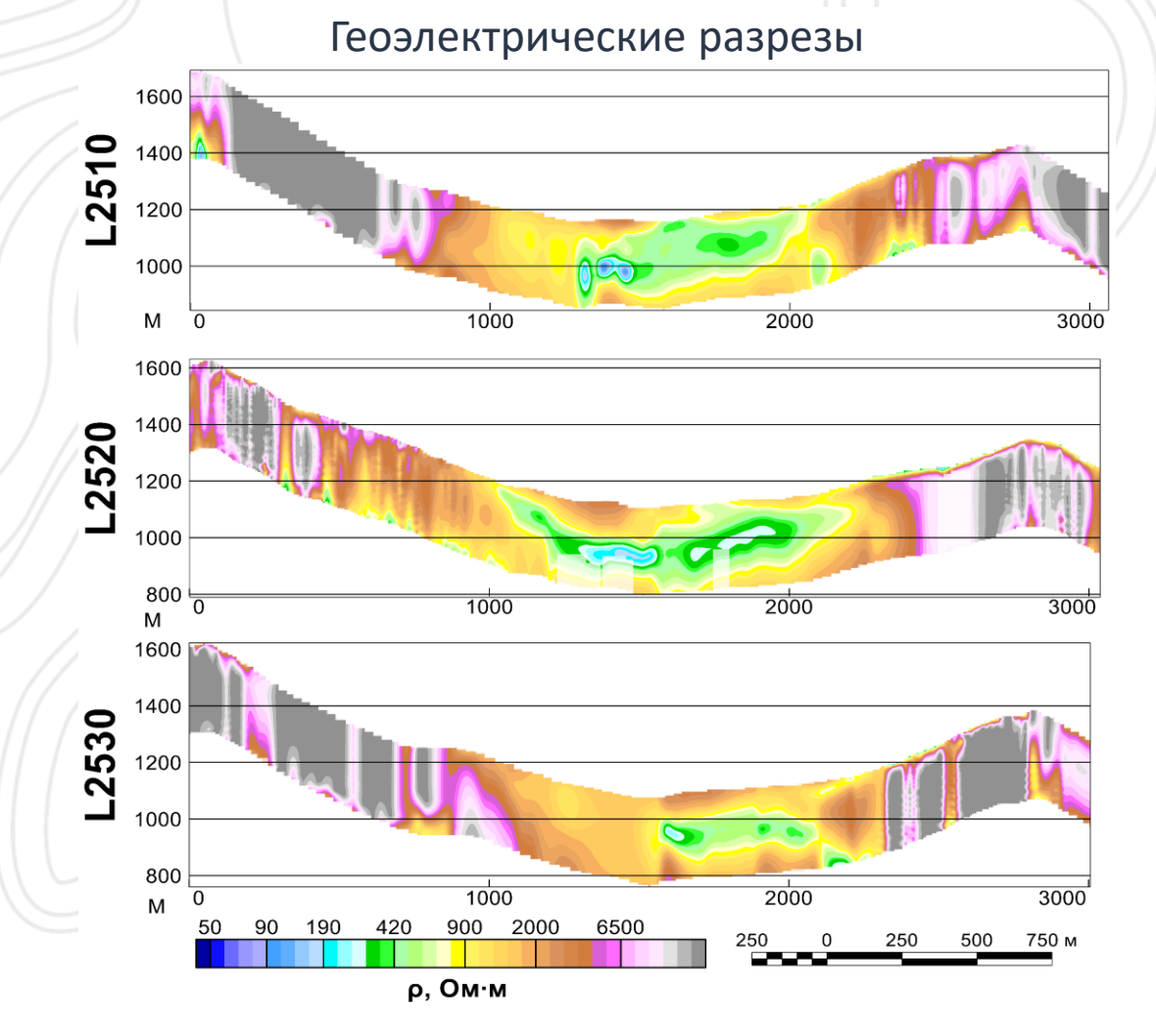




Поиски медно-никелевых руд в ультрамафитах кунманьенского комплекса. Хабаровский край. 2023

Перспективный участок 2. Картирование объектов с аномально низкими сопротивлениями

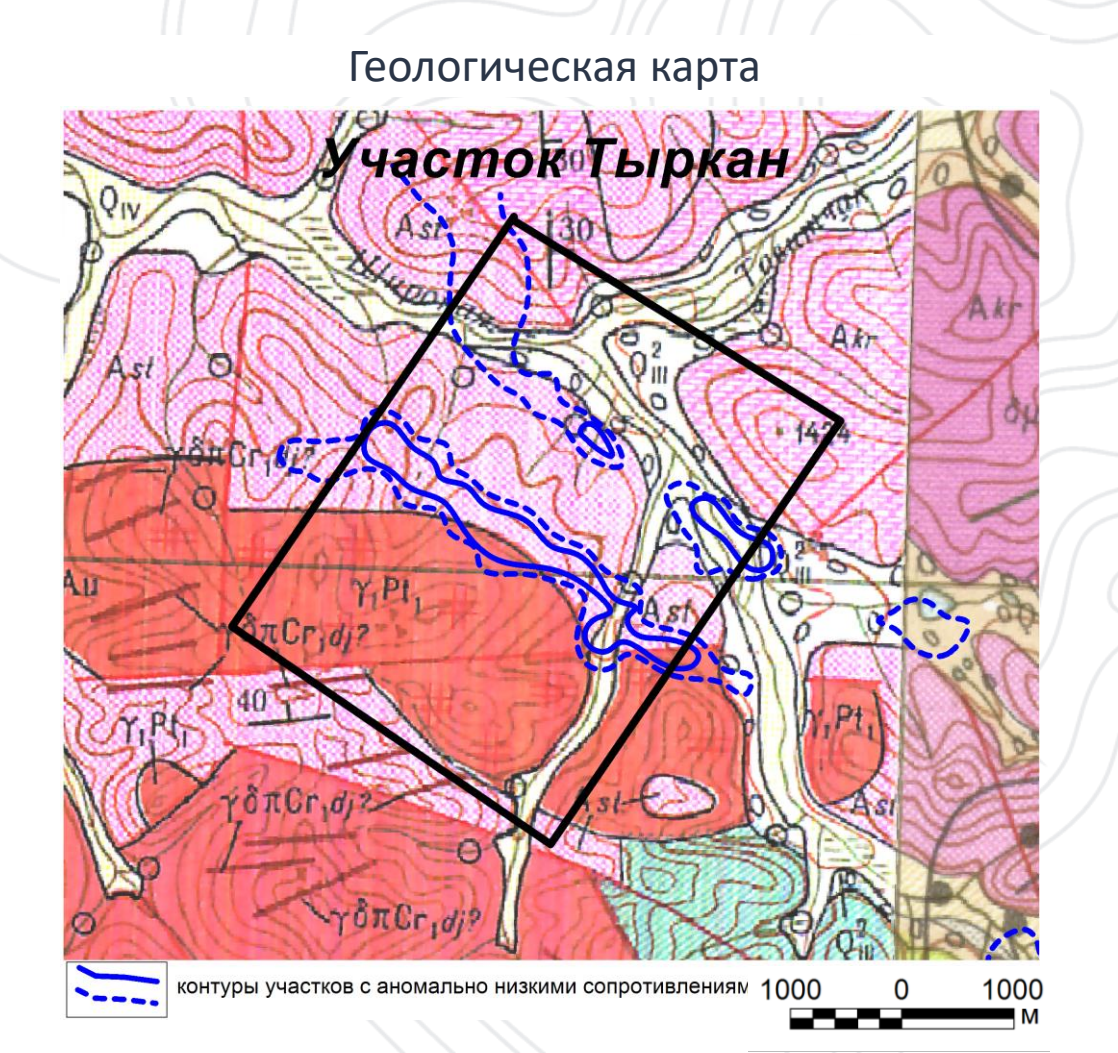
Фрагмент карты кажущихся сопротивлений 1000 2000 3000 м

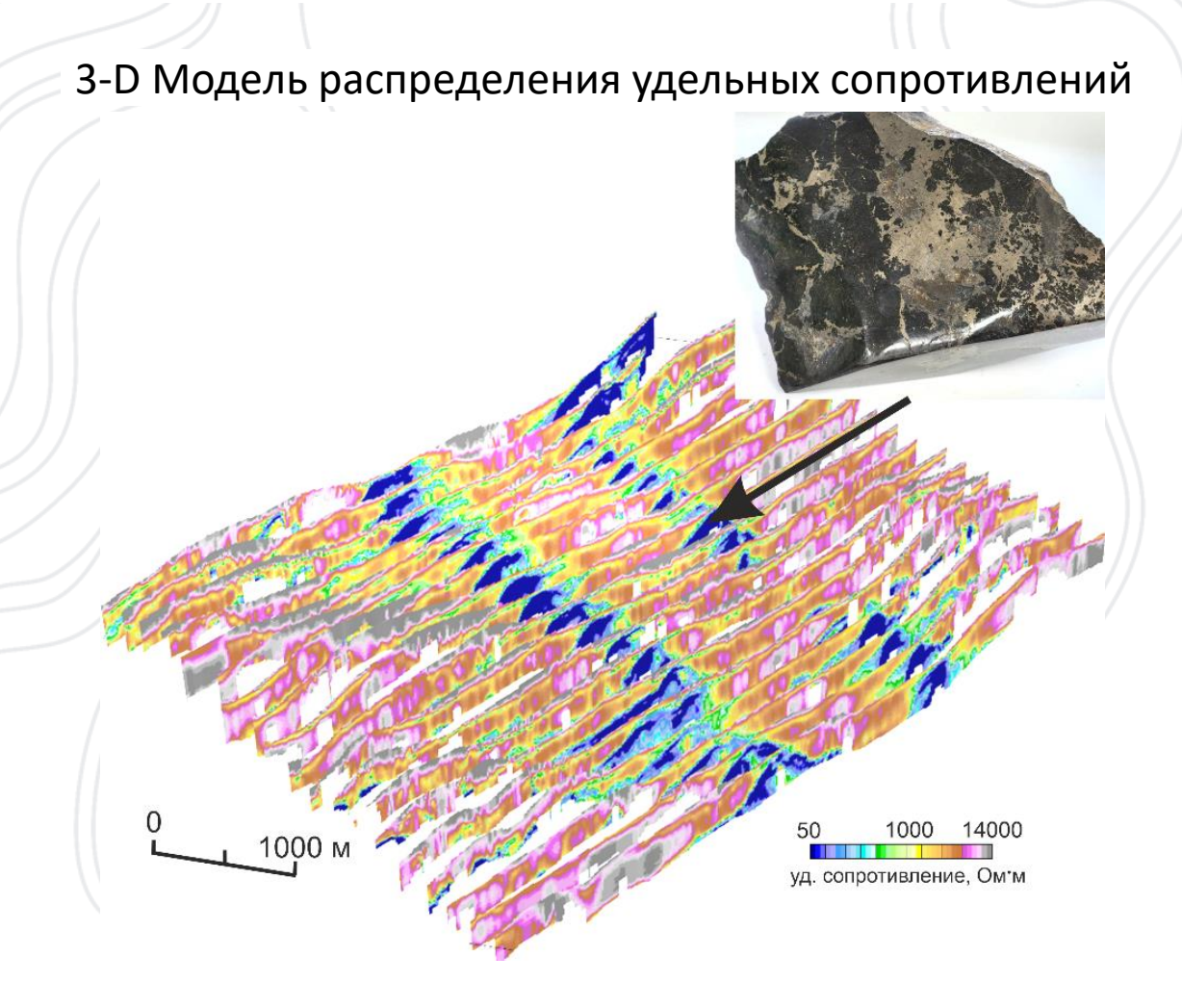




Поиски медно-никелевых руд в ультрамафитах кунманьенского комплекса. Хабаровский край. 2023

Перспективный участок Тыркан. Картирование объектов с аномально низкими сопротивлениями





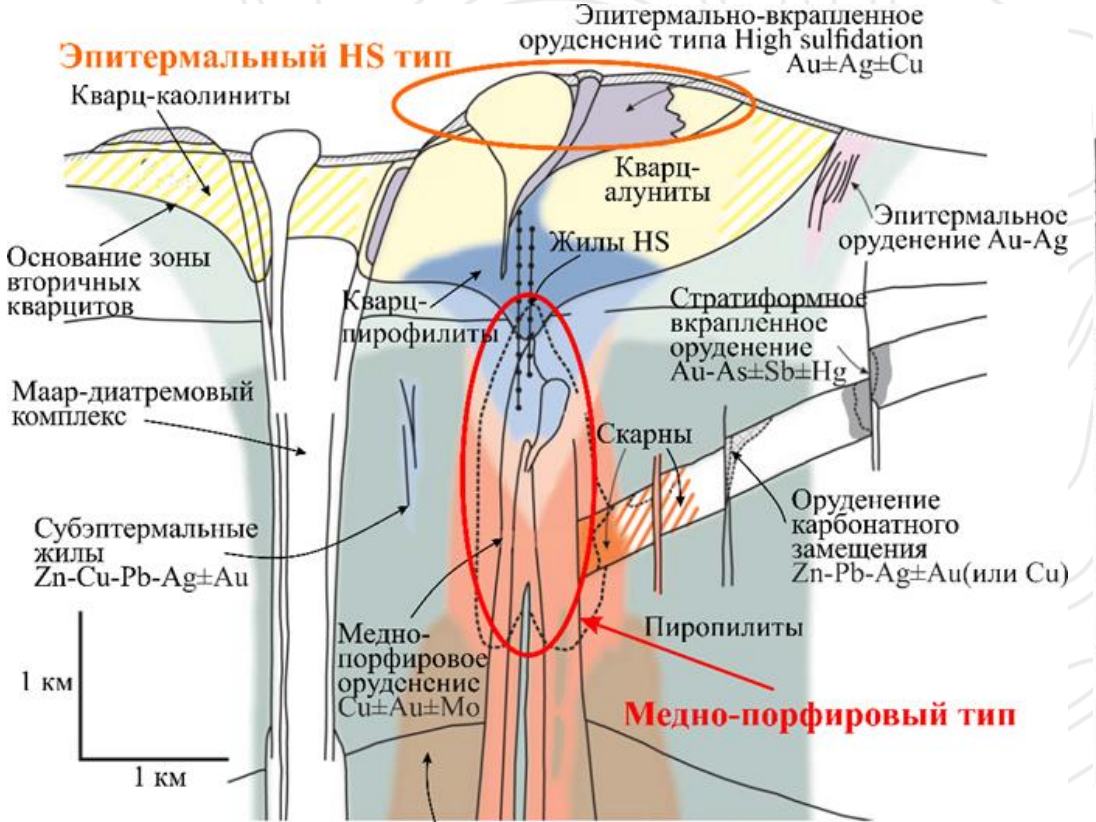


ЮВ

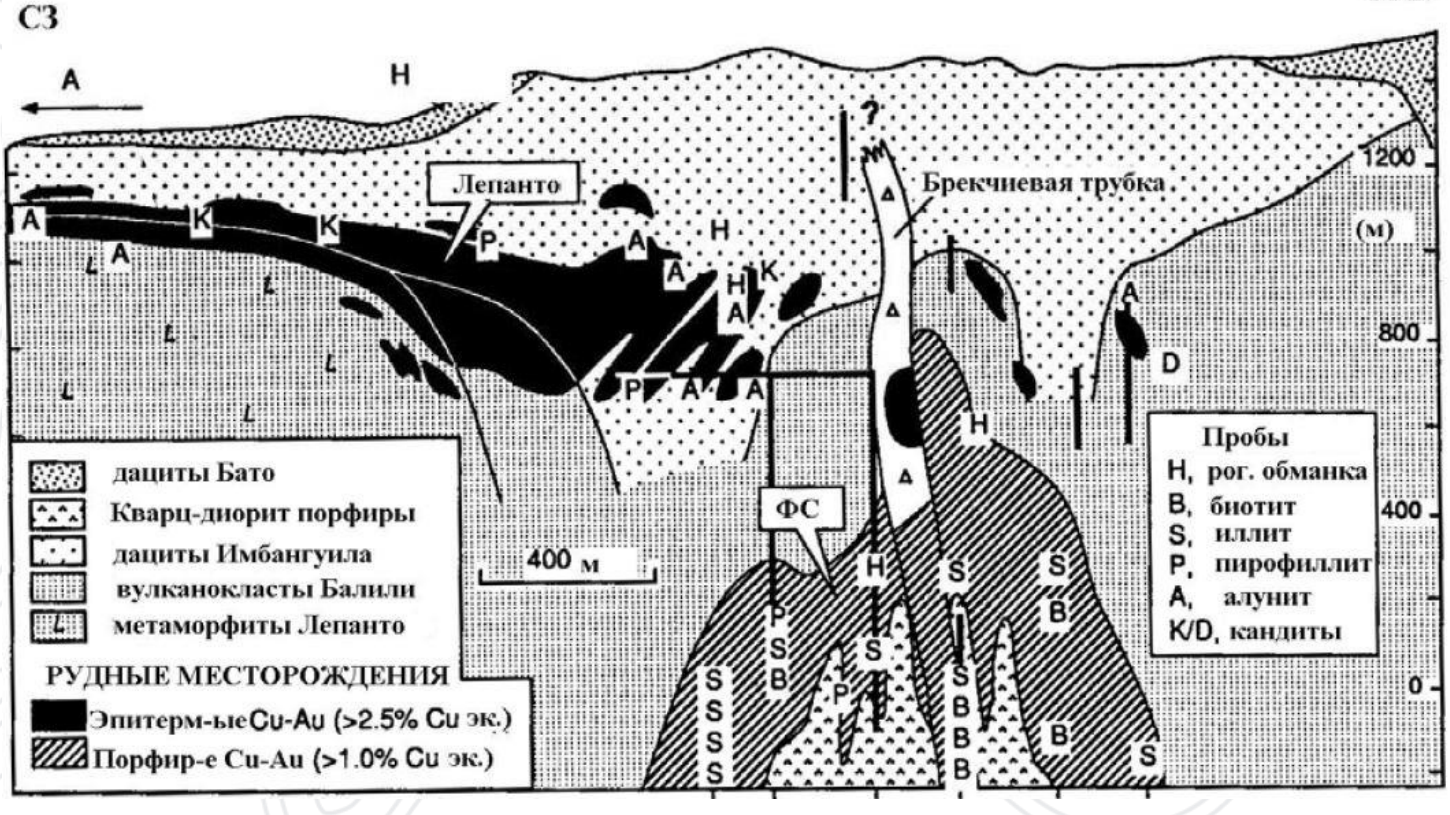
Поиски эпитермальных месторождений золота типа «хай сульфидейшн». Камчатка. 2021

Модель формирования крупных месторождений эпитермального (HS) и Cu-Au порфирового типа

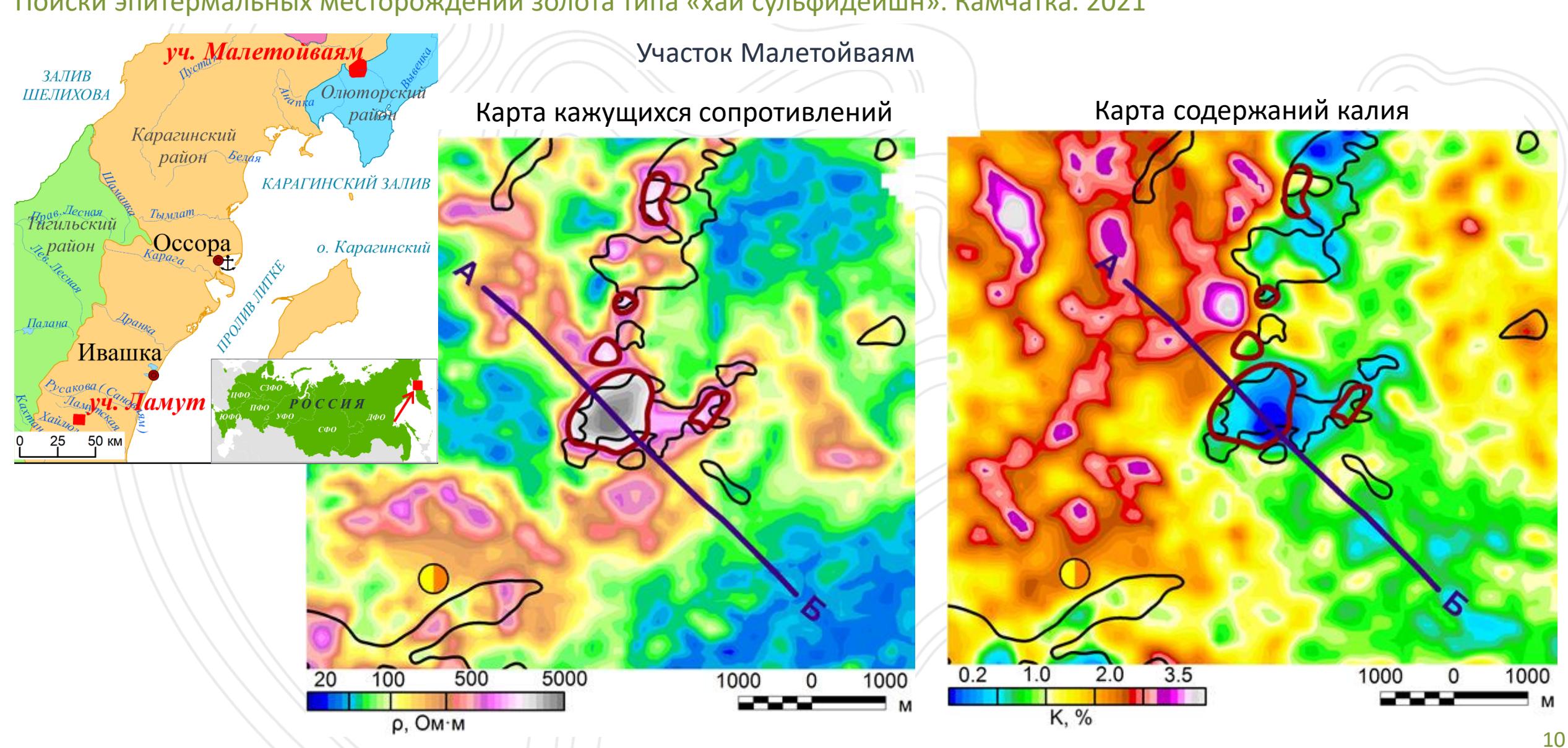
Геологический разрез через месторождение Лепанто эпитермального Cu-Au (HS) и Cu-Au порфирового типа



Интрузивные породы





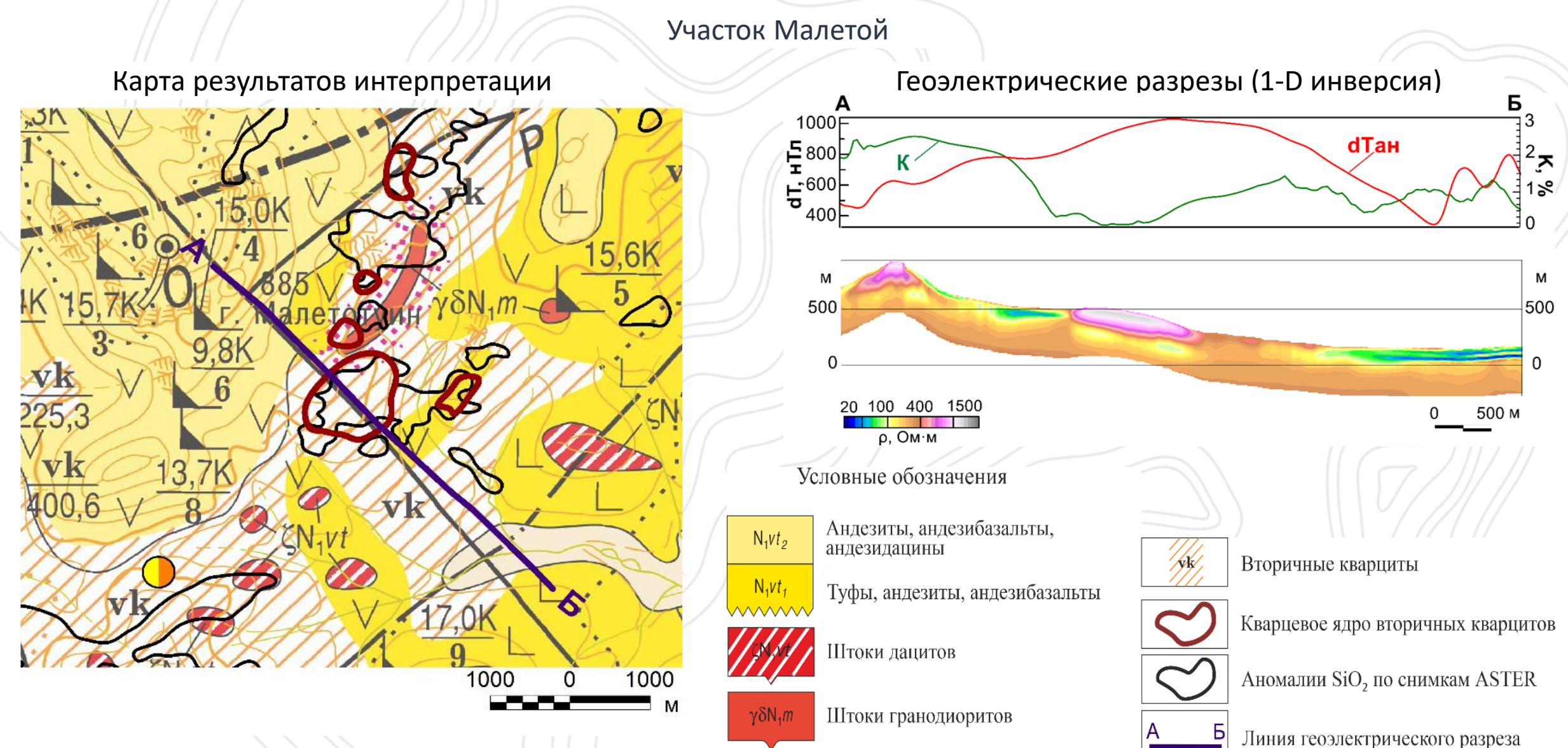




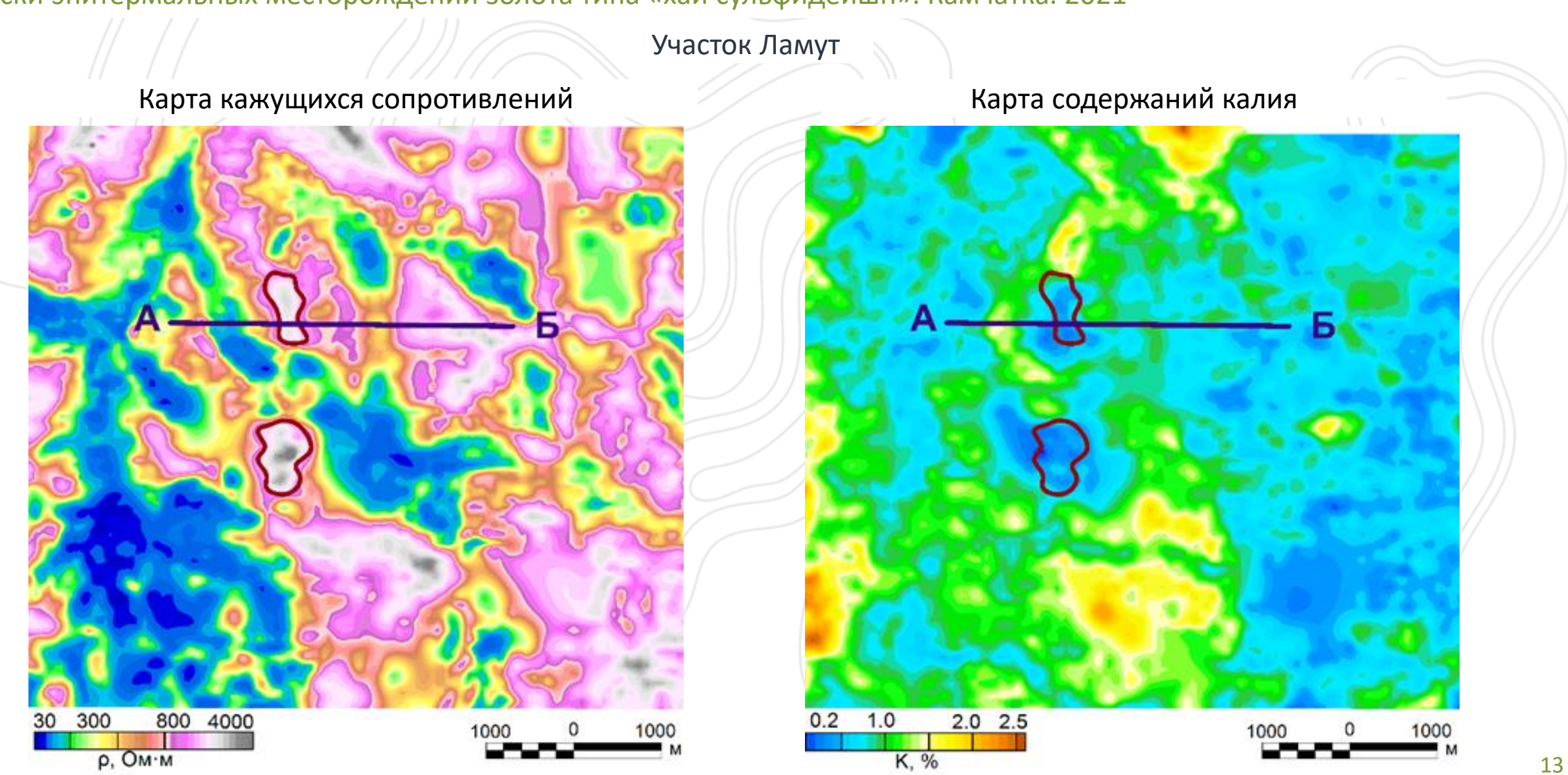
Поиски эпитермальных месторождений золота типа «хай сульфидейшн». Камчатка. 2021

Участок Малетой Карта локальной компоненты магнитного поля Карта аномального магнитного поля 1000 -50 -200 500 1500 -750 50 100 750 1000 dTan, нТл **d**Тлок, нТл

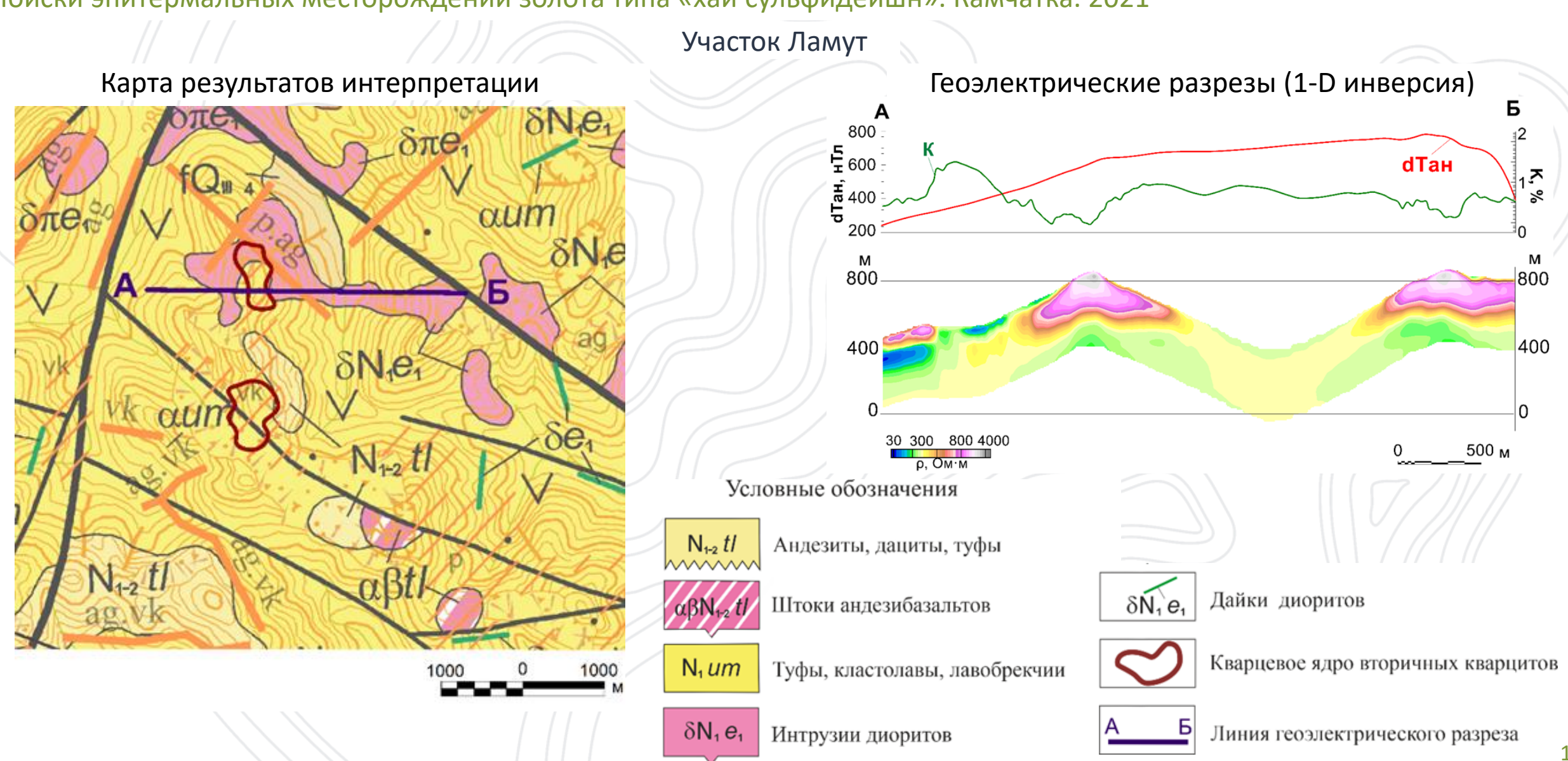












Выводы



- Комбинированная электромагнитная система комплекса осуществляет электромагнитные зондирования как в частотной, так и во временной области это обеспечивает детальность изучения верхней части разреза и достаточную глубинность исследований. Инверсия с использованием частотных и временных данных существенно улучшает информативность и достоверность геоэлектрических разрезов.
- Система выполняет высокоточные измерения кажущихся сопротивлений среды в огромном динамическом диапазоне 0.1-15 000 Ом^{*}м (пять порядков).
- Аэрогеофизический комплекс ЭКВАТОР является единственной, из доступных систем на территории России,
 где реализован принцип комбинированной электроразведки.
- Его использование позволяет локализовывать рудные залежи обогащенные сульфидами среди высокоомных ультрамафитов, а также уверенно картировать золотоносные вторичные кварциты, для которых характерны очень высокие сопротивления и отсутствие намагниченных и радиоактивных объектов в ВЧР.
- За последние годы с системой ЭКВАТОР получены важные практические результаты по обнаружению алмазоносных кимберлитов (Ангола, 2013 г.), сульфидных и пегматитовых руд (Руанда, 2017 г.), золото перспективных участков и месторождений (Восточная Сибирь, Камчатка, 2019-2023 гг.) и поиску палеодолин в Хиагдинском рудном поле (республика Бурятия, 2024 г).

«Look deep into nature, and then you will understand everything better»- Albert Einstein



СПАСИБО ЗА ВНИМАНИЕ!



+7 499 344 04 24 info@geotechnologies.ru www. geotechnologies.ru